

การวิเคราะห์การลัดวงจรโดยวิธีแยกเป็นส่วนย่อย



นายธนา ชាជวรานะ

ศูนย์วิทยบรหดิ์
วิทยานิพนธ์เป็นส่วนหนึ่งของการศึกษาตามหลักสูตรปริญญาวิศวกรรมศาสตรมหาบัณฑิต
ภาควิชาวิศวกรรมไฟฟ้า
บัณฑิตวิทยาลัย จุฬาลงกรณ์มหาวิทยาลัย
พศ. 2532

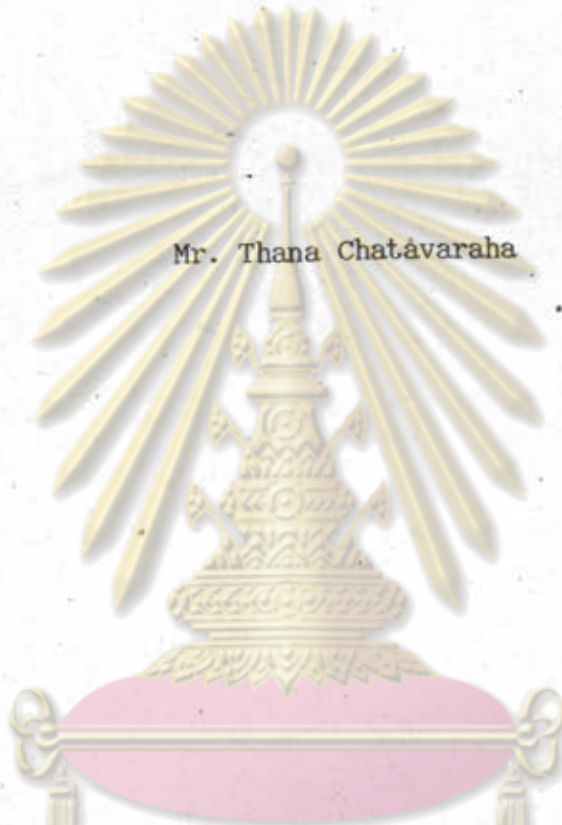
ISBN 974-576-892-8

ลิขสิทธิ์ของบัณฑิตวิทยาลัย จุฬาลงกรณ์มหาวิทยาลัย

I 10302512

015739

FAULT ANALYSIS BY PIECEWISE SOLUTION METHOD



Mr. Thana Chatavaraha

A Thesis Submitted in Partial Fulfillment of the Requirements
for the Degree of Master of Engineering
Department of Electrical Engineering

Graduate School
Chulalongkorn University
1989

ISBN 974-576-892-8



หัวช้อวิทยานิพนธ์ การวิเคราะห์การลัดวงจร โดยวิธีแยกเป็นส่วนย่อย
โดย นายชนา ชาติธรรม
ภาควิชา วิศวกรรมไฟฟ้า
อาจารย์ที่ปรึกษา รองศาสตราจารย์ ดร. สุขุมวิทัย ภูมิวุฒิสาร

บัณฑิตวิทยาลัย จุฬาลงกรณ์มหาวิทยาลัย อนุญาตให้มีวิทยานิพนธ์ฉบับนี้ เป็นส่วนหนึ่งของ
การศึกษาตามหลักสูตรปริญญามหาบัณฑิต

คณบดีบัณฑิตวิทยาลัย

(ศาสตราจารย์ ดร. ภากร วัชรากิจ)

คณะกรรมการสอบวิทยานิพนธ์

ประธานกรรมการ

(ศาสตราจารย์ ดร. บรรยาย บุญยนล)

อาจารย์ที่ปรึกษา

(รองศาสตราจารย์ ดร. สุขุมวิทัย ภูมิวุฒิสาร)

กรรมการ

(ดร. ชวรัตน์ โนตรกานนท์)

กรรมการ

(รองศาสตราจารย์ ไพบูลย์ ไชยนิล)

ศูนย์วิทยบริการ จุฬาลงกรณ์มหาวิทยาลัย



*
พิมพ์ด้วยวิธีการทั่วไป วิทยานิพนธ์ภาษาไทยในกรอบลีบีเอฟวันเก่าที่บังแผลนเดียว

ชนา ชาติวรรหา : การวิเคราะห์การลัดวงจรโดยวิธีแยกเป็นส่วนย่อย (FAULT ANALYSIS BY PIECEWISE SOLUTION METHOD) อ.ที่ปรึกษา : รศ.ดร.สุขุมวิทย์ ภูมิวัฒนา, 417 หน้า.
ISBN 974-576-892-8

วิทยานิพนธ์ฉบับนี้ได้พัฒนาข้อพื้นฐานมา 2 ขุด เพื่อวิเคราะห์การลัดวงจรในระบบไฟฟ้าก้าลัง โปรแกรมชุดแรกเป็นโปรแกรมที่ใช้วิเคราะห์การลัดวงจรชนิดต่าง ๆ เช่น การลัดวงจรชนิดสามสายสองดิน ชนิดสองสาย ชนิดหนึ่งสายสองดิน และชนิดสองสายสองดิน โดยการสร้างบัสอิมพิแคนชั่นตริกซ์ของระบบโดยตรง ที่รวมผลของมิغاชลตับปัลจของสายส่งต่าง ๆ สำหรับโปรแกรมชุดหลังเป็นโปรแกรมที่ใช้วิเคราะห์การลัดวงจรโดยวิธีแยกเป็นส่วนย่อย โดยการแบ่งระบบไฟฟ้าก้าลังออกเป็นระบบย่อย โดยหาเนตริกซ์เชื่อมโยงของระบบย่อย แล้วคำนวณหาเฉพาะคอลัมน์ของบัสอิมพิแคนชั่นตริกซ์ของบัสที่ต้องการวิเคราะห์ฯ วิธี-วิเคราะห์การลัดวงจรโดยวิธีแยกเป็นส่วนย่อยนี้จะทำให้ลดเนื้อที่เก็บข้อมูลในหน่วยความจำของเครื่องคอมพิวเตอร์ลงเมื่อเทียบกับการวิเคราะห์การลัดวงจรในโปรแกรมชุดแรก

โปรแกรมทั้งสองชุดที่ได้พัฒนาขึ้นสามารถหาค่ากระแสและแรงดัน ขณะเกิดลัดวงจรได้ทั้งค่าปริมาณไฟฟ้าและค่าปริมาณเข็มวันซ์ อีกทั้งสามารถหาค่าการลัดวงจรได้บนเฟสอ้างอิงอื่น ๆ โดยใช้เทคนิคของ Kron (Change in Symmetry) โปรแกรมทั้งสองชุดนี้ เขียนด้วยภาษาซี (C) สามารถคอมไพล์และเก็บไว้ในดิสก์ในรูปหนึ่งของซอฟต์แวร์ สำหรับใช้กับไมโครคอมพิวเตอร์ขนาด 16 บิต สามารถเรียกใช้ได้โดยตรงภายใต้ระบบดอส (DOS)

ผลการทดสอบโปรแกรมที่ได้พัฒนาขึ้นมาถูกทดสอบในระบบไฟฟ้าก้าลังตามตัวอย่างมาตรฐาน IEEE ขนาด 3 บัส 6 บัส และ 14 บัส รวมทั้งระบบไฟฟ้าก้าลังทางภาคใต้ของประเทศไทย ผลการทดสอบ ขนาด 3 บัส พบร่วมทั่วไปจำนวนหน่วยความจำและเวลาที่ใช้ในการวิเคราะห์ฯ ด้วยวิธีแยกเป็นส่วนย่อย จะน้อยกว่าวิธี-วิเคราะห์โดยการสร้างบัสอิมพิแคนชั่นตริกซ์ของระบบโดยตรง



ศูนย์วิทยทรัพยากร จุฬาลงกรณ์มหาวิทยาลัย

ภาควิชา วิศวกรรมไฟฟ้า
สาขาวิชา พลังงานไฟฟ้า
ปีการศึกษา 2532

ดำเนินอธิบาย รศ.ดร. ศุภชัย ภูมิวัฒนา
ดำเนินอธิบาย อ.ดร. สุขุมวิทย์ ภูมิวัฒนา
ลายมืออาจารย์ที่ปรึกษา



พิมพ์ด้วยคอมพิวเตอร์ จัดทำโดยนักศึกษาในกรอบวิชาชีพ นักวิจัยและนักศึกษา

THANA CHATAVARAHA : FAULT ANALYSIS BY PIECEWISE SOLUTION METHOD. THESIS ADVISOR : ASSO. PROF. SUKUMVIT PHOOMVUTHISARN, Ph.D. 417 PP.

This thesis develops 2 software programs to analyze faulted power system. The first program analyzes various fault types such as three phase, line-to-ground, single line-to-ground and double line-to-ground fault by bus impedance matrix method combined mutual coupling of various lines directly. For the second program is to analyze faulted in power system by piecewise solution method calculated only column of bus impedance matrix of the bus which has to be analyzed. The analysis of fault by piecewise in solution method will reduce data storage in computer memory compared to the analysis of fault by the first program.

These two programs which have been developed are able to analyze the current and voltage in phase quantities and sequence quantities. They are also able to calculate the amount of current and voltage on other reference phases by utilizing Kron's technique (Change in Symmetry). These two programs are written in C language which can be complied and stored on disk for the 16-bit microcomputer under the DOS system.

The testing of programs followed IEEE standard with 3, 6 and 14 buses and EGAT power system in the south with 38 buses and results that in general the memory and the amount of time in the analysis by piecewise solution method is less than bus impedance matrix method.



ศูนย์วิทยทรัพยากร จุฬาลงกรณ์มหาวิทยาลัย

ภาควิชา วิศวกรรมไฟฟ้า
สาขาวิชา พลังงานไฟฟ้า
ปีการศึกษา 2532

ลายมือชื่อนิสิต
ลายมือชื่ออาจารย์ที่ปรึกษา
ลายมือชื่ออาจารย์ที่ปรึกษาร่วม



กิตติกรรมประกาศ

วิทยานิพนธ์นักศึกษาเรื่อง ได้ด้วยความสนับสนุน และความร่วมมือจากหลายท่านด้วยกัน ข้าพเจ้าขอขอบพระคุณ รองศาสตราจารย์ ดร. สุขุมวิท ภูมิภาสิรา อารยกรรมวิชาชีวกรรม ในฝ่าย ที่ให้คำปรึกษา และควบคุมวิทยานิพนธ์ ศาสตราจารย์ ดร. บรรย บุญยุบล ซึ่งเป็นประธานกรรมการสอบวิทยานิพนธ์ รองศาสตราจารย์ ในบูล ไซยันล อารยกรรมประจำภาควิชาวิศวกรรม ในฝ่าย และ ดร. ชวรศักดิ์ ไหตรภาณ์ หัวหน้ากองวิศวกรรมในฝ่าย ไฟฟ้าพลังความร้อน การไฟฟ้าฝ่ายผลิตแห่งประเทศไทย ซึ่งเป็นกรรมการสอบวิทยานิพนธ์ที่ได้ช่วยตรวจสอบแก้ไขบทความ และให้คำแนะนำที่เป็นประโยชน์ บริษัท เอสคอน จำกัด ที่ให้ความสละสะดวกในการใช้เครื่องคอมพิวเตอร์ในการวิจัยนี้ คุณปักมาวงศ์ จุกlong ที่ช่วยจัดพิมพ์ และผู้ร่วมสนับสนุนอีกหลายท่านที่ไม่ได้อ่านนามมา ณ ที่นี่



ศูนย์วิทยทรัพยากร จุฬาลงกรณ์มหาวิทยาลัย



สารบัญ

หน้า

บทคัดย่อภาษาไทย	๑
บทคัดย่อภาษาอังกฤษ	๒
กิตติกรรมประกาศ	๓
สารัญญาติ	๔
สารัญญาติ	๕
บทที่	
1 บทนำ	1
2 การวิเคราะห์การลัดวงจร	3
2.1 องค์ประกอบสมมาตร	3
2.2 การวิเคราะห์การลัดวงจรด้วยบล็อกมินิແຕนช์ เมตริกซ์	6
2.3 การคำนวณการลัดวงจร และสมการของภาระเกิดลัดวงจรแบบต่าง ๆ	8
2.3.1 การลัดวงจรชนิดฐาน	9
2.3.1.1 การลัดวงจรชนิดที่engสายลงดิน	9
2.3.1.2 การลัดวงจรชนิดสองสาย	10
2.3.1.3 การลัดวงจรชนิดสองสายลงดิน	11
2.3.1.4 การลัดวงจรชนิดสามสาย	13
2.3.2 การลัดวงจรชนิดอนุกรม	14
2.4 การวิเคราะห์การลัดวงจรที่เกิดบนไฟล์อื่น	15
2.4.1 เมตริกซ์ K	15
2.4.2 การแปลงการลัดวงจรจากไฟล์อื่น	15
2.4.2.1 ตัวอย่างการหาผลลัพธ์	18
3 การใช้ไดอะคอบติกในระบบไฟฟ้ากำลัง	24
3.1 การหาผลลัพธ์แบบแยกล่วน	24
3.2 ตัวอย่างการหาผลลัพธ์	33
4 โปรแกรมการวิเคราะห์การลัดวงจร	37
4.1 การอ่านข้อมูลของระบบไฟฟ้ากำลัง	37
4.2 การสร้างบล็อกมินิແຕนช์ เมตริกซ์	38
4.2.1 การถอดรายน้ำมีมิวชาลตับบลิง	38

4.2.2 การฝึกซ้อมนิวชัวลตันบลิง	39
4.3 การวิเคราะห์การลัดวงจร	40
4.3.1 การลัดวงจรชนิดสามสายลงดิน	40
4.3.2 การลัดวงจรชนิดสองสาย	41
4.3.3 การลัดวงจรชนิดหนึ่งสายลงดิน	43
4.3.4 การลัดวงจรชนิดสองสายลงดิน	45
5 โปรแกรมการวิเคราะห์ การลัดวงจรโดยวิธีแยกเป็นส่วนย่อย	70
5.1 การอ่านข้อมูลของระบบไฟฟ้ากำลัง	70
5.2 การแบ่งระบบไฟฟ้ากำลังออกเป็นระบบย่อยโดยอัตโนมัติ	71
5.3 การสร้างบล็อกนิวเคลียริกซ์ เมตริกซ์ และเมตริกซ์เชื่อมโยงระบบย่อย	72
5.3.1 การจัดอันดับในแต่ละระบบย่อย	72
5.3.2 สร้างบล็อกนิวเคลียริกซ์ เมตริกซ์ของแต่ละระบบย่อย	72
5.3.3 สร้างเมตริกซ์เชื่อมโยงระบบย่อย	72
5.4 การวิเคราะห์การลัดวงจรโดยวิธีแยกเป็นส่วนย่อย	73
5.4.1 การลัดวงจรชนิดสามสายลงดิน	73
5.4.2 การลัดวงจรชนิดสองสาย	74
6 การใช้โปรแกรมและตัวอย่างการวิเคราะห์	94
6.1 การจัดเตรียมข้อมูล	94
6.2 ตัวอย่างการคำนวณ	94
6.2.1 ตัวอย่างที่ 1	94
6.2.2 ตัวอย่างที่ 2	105
6.2.3 ตัวอย่างที่ 3	119
6.2.4 ตัวอย่างที่ 4	152
7 สุ่มเพลและข้อเสนอแนะ	165
เอกสารอ้างอิง	168
ภาคผนวก ก. คู่มือการใช้โปรแกรม	169
ภาคผนวก ข. โปรแกรมการวิเคราะห์การลัดวงจร โดยวิธีบล็อกนิวเคลียริกซ์	201
ภาคผนวก ค. โปรแกรมการวิเคราะห์การลัดวงจร โดยวิธีแยกเป็นส่วนย่อย	289
ภาคผนวก ง. ตัวอย่างผลลัพธ์ของระบบไฟฟ้ากำลังขนาด 6 มัลติ 9 สายสั้น	377
ประวัติผู้เขียน	415

สารบัญตาราง

ตารางที่		หน้า
2.1	สมการการสร้างบล็อกมินิเดนซ์เมตริกซ์	7
2.2	ค่าเมตริกซ์ K ในเทอมของ I_{a_0} และ I_{a_1}	17
2.3	ค่าแรงตัวและอัมพิเดนซ์ที่ถูกแปลงให้สอดคล้องกับเมตริกซ์ k ในตาราง 2.2	18
6.1	แสดงข้อมูลระบบไฟฟ้ากำลัง	95
6.2	แสดงผลลัพธ์ของบล็อกมินิเดนซ์เมตริกซ์	96
6.3	แสดงผลลัพธ์การลัดวงจรชนิด 3 สายลงดิน ที่บัส 1,2 บนเฟล้อร์อิง A .	97
6.4	แสดงผลลัพธ์การลัดวงจรชนิด 3 สายลงดิน ที่บัส 3 บนเฟล้อร์อิง A ...	98
6.5	แสดงผลลัพธ์การลัดวงจรชนิดหนึ่งสายลงดิน ที่บัส 1,2 บนเฟล้อร์อิง A .	99
6.6	แสดงผลลัพธ์การลัดวงจรชนิดหนึ่งสายลงดิน ที่บัส 3 บนเฟล้อร์อิง A....	100
6.7	ตารางการแบ่งระบบออกเป็นระบบย่อย และการแสดง Z1,Z2,Y4	101
6.8	แสดงผลลัพธ์การลัดวงจรชนิด 3 สายลงดิน ที่บัส 1,2 บนเฟล้อร์อิง A .	103
6.8 *	แสดงผลลัพธ์การลัดวงจรชนิด 3 สายลงดิน ที่บัส 3 บนเฟล้อร์อิง A ..	104
6.10	แสดงข้อมูลของระบบไฟฟ้ากำลัง	105
6.11	แสดงผลลัพธ์ของบล็อกมินิเดนซ์เมตริกซ์	106
6.11 (ต่อ)	แสดงผลลัพธ์ของบล็อกมินิเดนซ์เมตริกซ์	107
6.12	แสดงผลลัพธ์การลัดวงจรชนิด 3 สายลงดิน ที่บัส 1,2 บนเฟล้อร์อิง A .	108
6.13	แสดงผลลัพธ์การลัดวงจรชนิด 3 สายลงดิน ที่บัส 3,4 บนเฟล้อร์อิง A .	109
6.14	แสดงผลลัพธ์การลัดวงจรชนิด 3 สายลงดิน ที่บัส 5,6 บนเฟล้อร์อิง A .	110
6.15	แสดงผลลัพธ์การลัดวงจรชนิดหนึ่งสายลงดิน ที่บัส 1,2 บนเฟล้อร์อิง A .	111
6.16	แสดงผลลัพธ์การลัดวงจรชนิดหนึ่งสายลงดิน ที่บัส 3,4 บนเฟล้อร์อิง A .	112
6.17	แสดงผลลัพธ์การลัดวงจรชนิดหนึ่งสายลงดิน ที่บัส 5,6 บนเฟล้อร์อิง A .	113
6.18	ตารางการแบ่งระบบออกเป็นระบบย่อย และการแสดง Z1,Z2,Y4	114
6.18 (ต่อ)	ตารางการแบ่งระบบออกเป็นระบบย่อย และการแสดง Z1,Z2,Y4	115
6.19	แสดงผลลัพธ์การลัดวงจรชนิด 3 สายลงดิน ที่บัส 1,2 บนเฟล้อร์อิง A	116
6.20	แสดงผลลัพธ์การลัดวงจรชนิด 3 สายลงดิน ที่บัส 3,4 บนเฟล้อร์อิง A	117
6.21	แสดงผลลัพธ์การลัดวงจรชนิด 3 สายลงดิน ที่บัส 5,6 บนเฟล้อร์อิง A	118
6.22	แสดงข้อมูลของระบบไฟฟ้ากำลัง	120
6.23	แสดงผลลัพธ์ของบล็อกมินิเดนซ์เมตริกซ์	121

6.47	แสดงผลลัพธ์การลัดวงจรชนิด 3 สายลงดิน ที่บลส 1,2	บนไฟล้อางอิง A	155
6.48	แสดงผลลัพธ์การลัดวงจรชนิด 3 สายลงดิน ที่บลส 3,4	บนไฟล้อางอิง A	156
6.49	แสดงผลลัพธ์การลัดวงจรชนิด 3 สายลงดิน ที่บลส 5,6	บนไฟล้อางอิง A	157
6.50	แสดงผลลัพธ์การลัดวงจรชนิดหนึ่งสายลงดิน ที่บลส 1,2	บนไฟล้อางอิง A	158
6.51	แสดงผลลัพธ์การลัดวงจรชนิดหนึ่งสายลงดิน ที่บลส 3,4	บนไฟล้อางอิง A	159
6.52	แสดงผลลัพธ์การลัดวงจรชนิดหนึ่งสายลงดิน ที่บลส 5,6	บนไฟล้อางอิง A	160
6.53	ตารางการแบ่งระบบออกเป็นระบบชั้นอยู่		161
6.54	แสดงผลลัพธ์การลัดวงจรชนิด 3 สายลงดิน ที่บลส 1,2	บนไฟล้อางอิง A .	162
6.55	แสดงผลลัพธ์การลัดวงจรชนิด 3 สายลงดิน ที่บลส 3,4	บนไฟล้อางอิง A .	163
6.56	แสดงผลลัพธ์การลัดวงจรชนิด 3 สายลงดิน ที่บลส 5,6	บนไฟล้อางอิง A .	164



ศูนย์วิทยทรัพยากร จุฬาลงกรณ์มหาวิทยาลัย

สารนัยภาษา

รูปที่		หน้า
2.1	องค์ประกอบสามเฟส	3
2.2	วงจรสมைอเนี้ยความซึ่นย์ของเครื่องกำเนิดไฟฟ้า	5
2.3	วงจรสมைอเนี้ยความซึ่นย์ของมอแปลงไฟฟ้า	6
2.4	ข่ายวงจรบานแยกเนี้ยความซึ่น	8
2.5	ໄດอะแกรมแสดงการเกิดลักษณะนิดหึงสายลงดิน	9
2.6	ข่ายวงจรบานแยกเนี้ยความซึ่นในส่วนที่แสดงความล้มพังของกระแส	9
2.7	ข่ายวงจรบานแยกเนี้ยความซึ่นสำหรับการลัดวงจรชนิดหึงสายลงดิน	10
2.8	ໄດอะแกรมแสดงการเกิดลักษณะนิดสองสาย	10
2.9	ข่ายวงจรบานแยกเนี้ยความซึ่น ในส่วนที่แสดงความล้มพังของกระแส	11
2.10	ข่ายวงจรบานแยกเนี้ยความซึ่นสำหรับการลัดวงจรชนิดสองสาย	11
2.11	ໄດอะแกรมแสดงการเกิดลักษณะนิดสองสายลงดิน	12
2.12	ข่ายวงจรบานแยกเนี้ยความซึ่นในส่วนที่แสดงความล้มพังของกระแส	12
2.13	ข่ายวงจรบานแยกเนี้ยความซึ่นสำหรับการลัดวงจรชนิดสองสายลงดิน	12
2.14	ໄດอะแกรมแสดงการเกิดลักษณะนิดสามสาย	13
2.15	ข่ายวงจรบานแยกเนี้ยความซึ่นสำหรับการลัดวงจรชนิดสามสาย	14
2.16	ໄດอะแกรมแสดงค่าอิมพีเดนซ์ของสายส่งในแต่ละเฟสที่ไม่เท่ากัน	14
2.17	วงจรบานแยกเนี้ยความซึ่น	16
3.1	(ก) แสดงระบบไฟฟ้ากำลังก่อแนวบ่งโคน	25
3.1	(ข) แสดงระบบข่ายห่วงบ่งโคน	25
3.1	(ค) แสดงวงจรสมมูลย์ของคักกลายน	25
3.2	แสดงระบบไฟฟ้าชั้งถูกแบ่งออกเป็น 2 โคน	33
3.3	แสดงระบบไฟฟ้าห่วงจากถูกแบ่งออกเป็น 2 โคน	33
4.1	ไฟล์ชาร์ตแสดงการวิเคราะห์การลัดวงจร	50
4.2	ไฟล์ชาร์ตแสดงการอ่านข้อมูลของระบบไฟฟ้ากำลัง	51
4.3	ไฟล์ชาร์ตแสดงการจัดลำดับลายที่ใช้ในการคำนวณ	54
4.4	ไฟล์ชาร์ตแสดงการสร้างบัสอิมพีเดนซ์เมตริกซ์ของ Positive Sequence (Z1)	58
4.5	ไฟล์ชาร์ตแสดงการจัดกลุ่มของลายที่ MUTUAL กัน	60
4.6	ไฟล์ชาร์ตแสดงการสร้างบัสอิมพีเดนซ์เมตริกซ์ ของ Zero Sequence (Z0)	65
4.7	ไฟล์ชาร์ตแสดงการวิเคราะห์การลัดวงจรชนิดต่าง ๆ	67

4.8	ไฟล์ชาร์ตแสดงการหากราสในลายน้.....	69
5.1	ไฟล์ชาร์ตแสดงการวิเคราะห์การลัดวงจร โดยวิธีแยกเป็นส่วนย่อย	77
5.2	ไฟล์ชาร์ตแสดงการวิเคราะห์การอ่านข้อมูลของระบบไฟฟ้ากำลัง	78
5.3	ไฟล์ชาร์ตแสดงการวิเคราะห์การแบ่งระบบไฟฟ้ากำลังเป็นระบบย่อย	81
5.4	ไฟล์ชาร์ตแสดงการวิเคราะห์การจัดลำดับลายน้ที่ใช้ในการคำนวณ	84
5.5	ไฟล์ชาร์ตแสดงการวิเคราะห์การสร้างบล็อกมินิเดนซ์เมตริกซ์ของ Positive Sequence (Z1)	88
5.6	ไฟล์ชาร์ตแสดงการวิเคราะห์การสร้าง Z2	90
5.7	ไฟล์ชาร์ตแสดงการวิเคราะห์การสร้าง Z4	91
5.8	ไฟล์ชาร์ตแสดงการวิเคราะห์การวิเคราะห์การลัดวงจรชนิดต่าง ๆ	93
6.1	ตัวอย่างระบบไฟฟ้ากำลังขนาด 3 บล็อกที่นำมาวิเคราะห์การลัดวงจร	95
6.2	ตัวอย่างระบบไฟฟ้ากำลังขนาด 6 บล็อกที่นำมาวิเคราะห์การลัดวงจร	105
6.3	ตัวอย่างระบบไฟฟ้ากำลังขนาด 14 บล็อกที่นำมาวิเคราะห์การลัดวงจร	119
6.4	ตัวอย่างระบบไฟฟ้ากำลังขนาด 38 บล็อกที่นำมาวิเคราะห์การลัดวงจร	152



ศูนย์วิทยทรัพยากร จุฬาลงกรณ์มหาวิทยาลัย